

К статье С.М Есиповича, С.Г.Семёновой, О.И. Семенец, с. 20–27

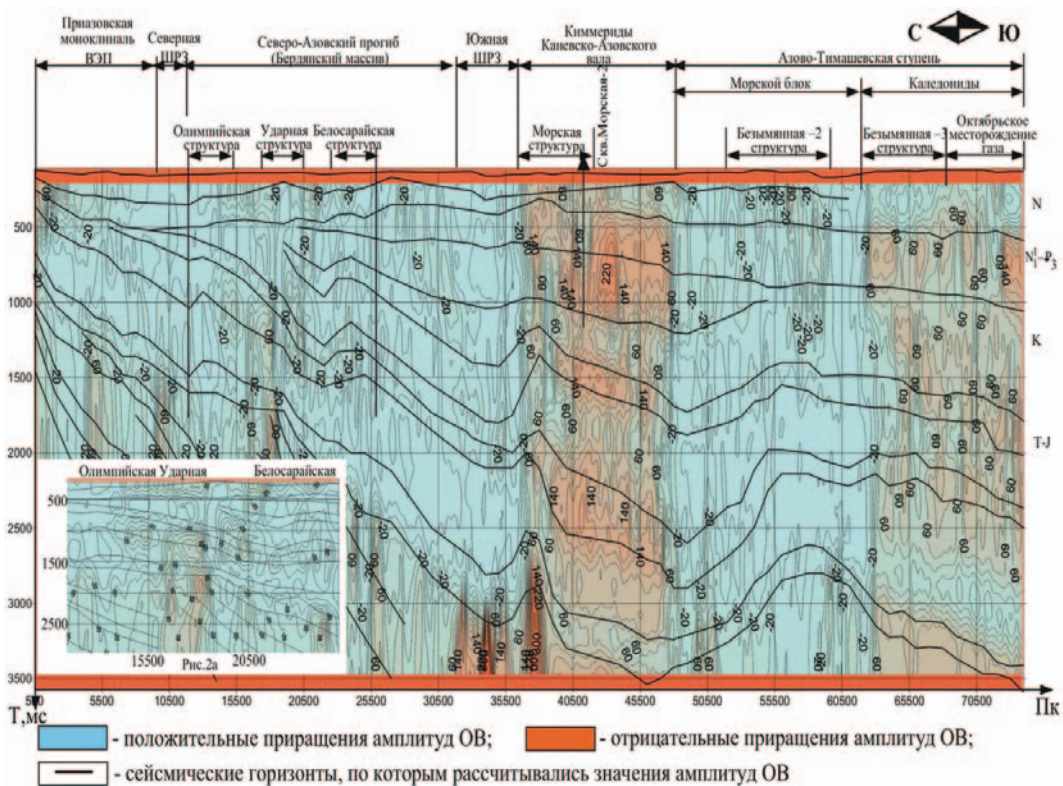


Рис. 2. Временной разрез изменения амплитуд ОВ по профилю 40501004

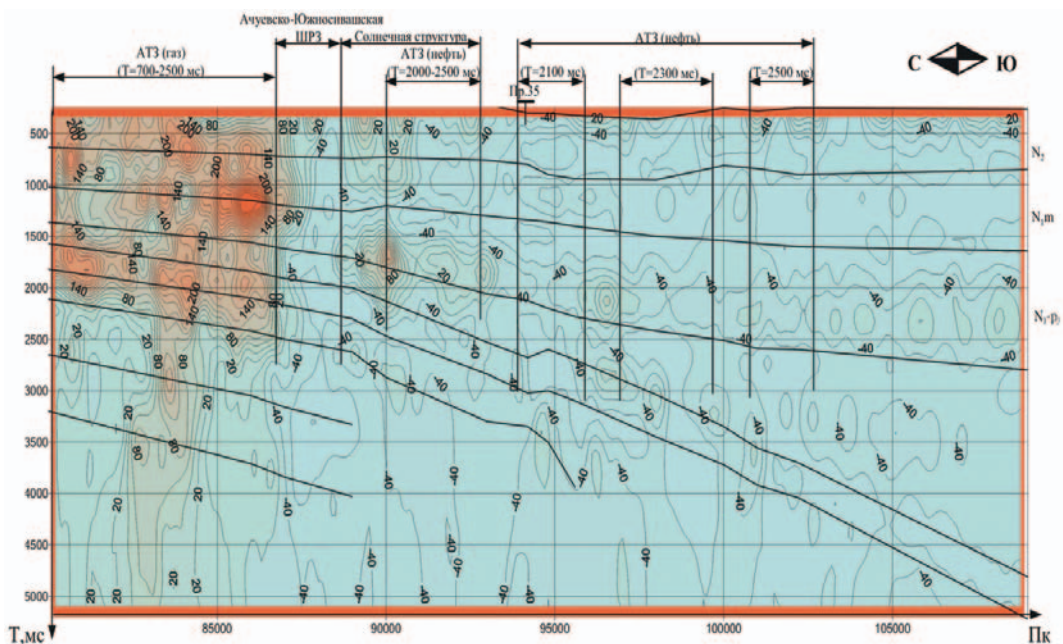


Рис. 3. Временной разрез изменения амплитуд ОВ по профилю 40501007. Условные обозначения те же, что и на рис. 2

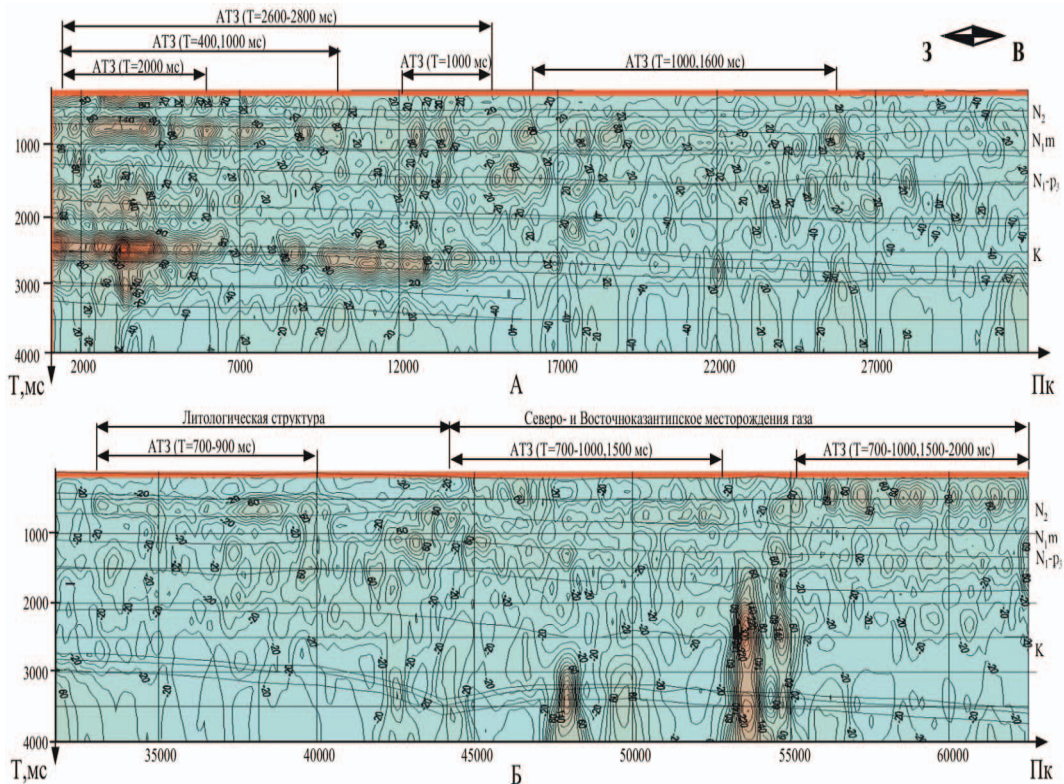


Рис. 4. Временной разрез изменения амплитуд ОВ по профилю 40501035 (западная часть)  
А – фрагмент, пк 1000-32000, Б – фрагмент, пк 3200–6200. Условные обозначения те же, что и на рис. 2

К статье Е.Ф. Шнюкова, А.А. Пасынкова, А.А. Любицкого и др., с. 28–36

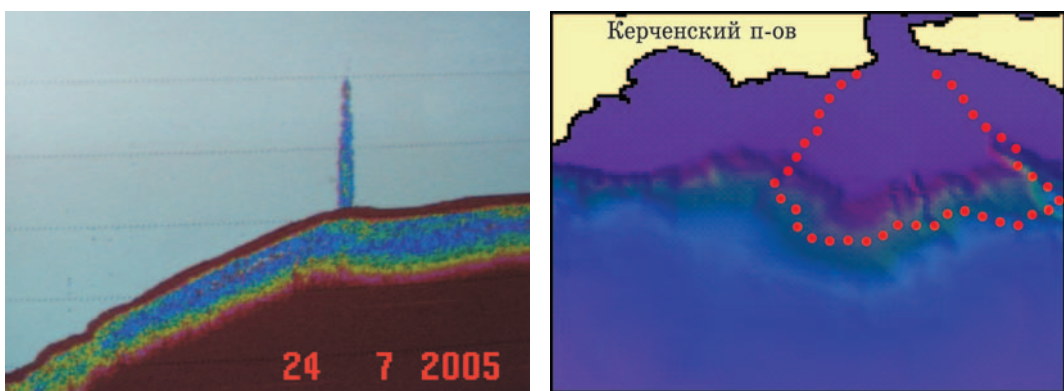


Рис. 1. Грязевой вулкан им. Л.И. Митина (эхограмма)

Рис. 2. Положение шлейфа конусов выноса погребенных палеодельт на прикерченском шельфе и материковом склоне

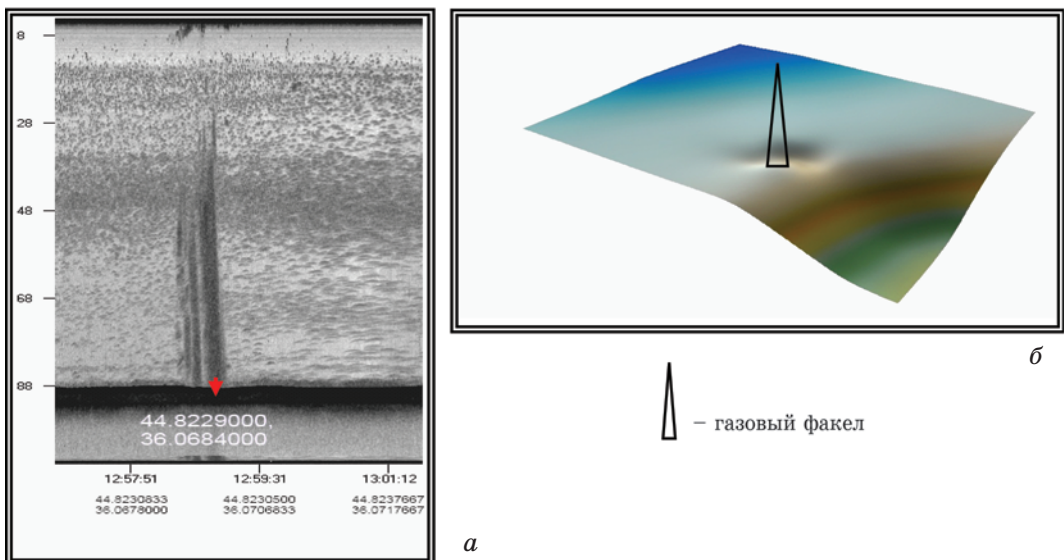


Рис. 5. Грязевой вулкан ОМГОР.

*a* - группа грязевых факелов из сальзы грязевого вулкана высотой до 75 м (станция 5, гл. 83,4 м), *б* - трехмерное изображение поверхности дна района грязевого вулкана

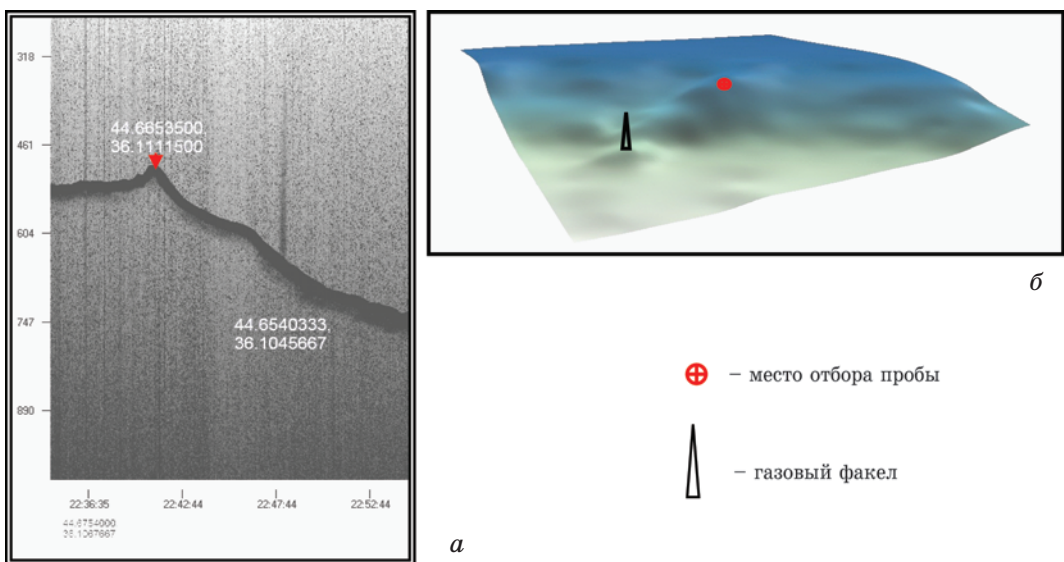
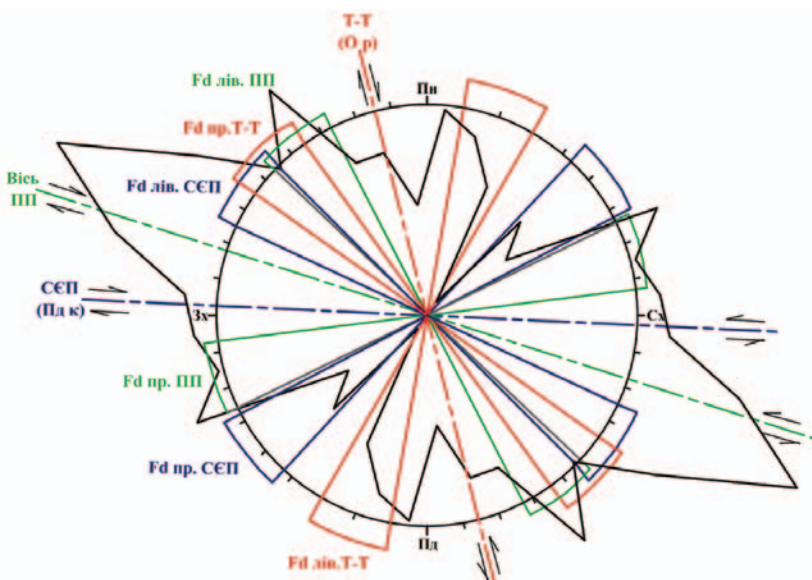


Рис. 6. Грязевой вулкан Науменко.

*a* – грязевулканическая сопка вулкана и газовый факел (станция 10, глубина 500 м), *б* – трехмерное изображение поверхности дна в районе грязевого вулкана (на переднем плане – газовый факел, на заднем – грязевулканическая сопка)

*До статті Т.А. Мельниченко, Н.В. Шафранської, с. 76–84*



**Умовні позначення:**  
**Fd лів.** ПП – осі складок при лівому здигу для вісі ПП;  
**Fd пр.** ПП – осі складок при правому здигу для вісі ПП; **Fd лів.** Т-Т – осі складок при лівому здигу для Т-Т; **Fd пр.** Т-Т – вісі складок при правому здигу для Т-Т; **Fd лів.** СЕП – вісі складок при лівому здигу для південного краю СЕП; **Fd пр.** СЕП – вісі складок при лівому здигу для південного краю СЕП. Інші позначення див. рис. 5

Рис. 6. Діаграма простягання вісей складок Білоліського блоку підошви середнього девону ( $D_2$ ) (шкала – лінійна, інтервал об’єднання –  $10^\circ$ ), побудована за структурною картою по IX умовному горизонті підошви середнього девону, м-б: 50 000, Москальський А.Т., «Кримгеологія», 1990, 1992 pp. Секторами на рисунку позначені інтерпретовані діапазони значень вісей складок (структур) ББ

*До статті В.Є. Іванова, І.М. Малахова, М.Є. Агаджанова та ін., с. 85–93*



Рис. 1. Загальна панорама зсуву балки Васильєва